

综述

## 硼-锗骨架无机微孔材料研究进展

王国明<sup>1,2</sup> 杨国昱<sup>\*,1</sup>

(<sup>1</sup> 中国科学院福建物质结构研究所, 结构化学国家重点实验室, 福州 350002)

(<sup>2</sup> 青岛大学师范学院化学系, 青岛 266071)

**摘要:** 作为潜在的新型功能材料, 硼-锗骨架微孔化合物近年来得到科学家的普遍关注。本文从结构化学的角度, 分别讨论了硼酸盐、锗酸盐及硼锗酸盐研究体系, 并对其中的典型结构进行了描述、归类与总结; 针对硼、锗易成簇聚集的特点, 探讨了硼-锗骨架无机微孔化合物研究的发展趋势。

**关键词:** 无机微孔材料; 硼酸盐; 锗酸盐; 硼锗酸盐; 簇单元

中图分类号: O613.81<sup>1</sup>; O614.43<sup>1</sup> 文献标识码: A 文章编号: 1001-4861(2006)08-1359-12

## Advances in Microporous Inorganic Borates, Germanates and Borogermanates

WANG Guo-Ming<sup>1,2</sup> YANG Guo-Yu<sup>\*,1</sup>

(<sup>1</sup>State Key Laboratory of Structural Chemistry, Fujian Institute of Research on the Structure of Matter, Chinese Academy of Sciences, Fuzhou 350002)

(<sup>2</sup>Department of Chemistry, Teachers College of Qingdao University, Qingdao, Shandong 266071)

**Abstract:** As a new type of potential functional materials, microporous inorganic solids with boron and germanate elements have attracted much attention in the last few years. In this paper, the progress in the synthetic and typical structural chemistry of borates, germanates and borogermanates, has been reviewed in detail. The new prospects of such materials have also been discussed, considering the construction of inorganic materials with B-O, Ge-O and B-Ge-O clusters.

**Key words:** microporous inorganic solid; borates; germanates; borogermanates; cluster

## 0 引言

多孔材料是一类具有规则而均匀的孔道结构、以孔道(或窗口)的大小尺寸、形状、走向、维数及孔壁组成与性质为主要特征的化合物<sup>[1]</sup>。作为多孔材料家族中的重要一员, 无机微孔化合物在近 20 多年中得到迅猛的发展, 不仅种类由传统的沸石、磷酸铝分子筛拓展至磷酸盐、硼磷酸盐、亚磷酸盐、硼酸盐、

锗酸盐、砷酸盐、硫酸盐、亚硒酸盐及金属硫化物等类沸石体系<sup>[2]</sup>, 而且结构类型也急剧增加。据国际分子筛学会(IZA)的统计, 至 2003 年分子筛的结构总数已达 145 种。这类化合物除广泛应用于催化、吸附、分离及离子交换等领域之外, 在高新技术先进材料领域, 也展现出良好的发展前景。

硼酸盐、锗酸盐以及融硼-氧、锗-氧簇于一体的硼锗酸盐微孔材料是近年来日益得到广泛重视, 并

收稿日期: 2006-05-20。收修改稿日期: 2006-07-07。

国家自然科学基金资助项目(No.20171045, 20271050, 20473093)、福建省自然科学基金(No.E0510030, E0210029)及中科院“引进国外杰出人才”专项基金资助项目。

\*通讯联系人。E-mail:ygy@fjirsm.ac.cn

第一作者: 王国明, 男, 29岁, 博士; 研究方向: 新型无机微孔材料。

充满活力与挑战的前沿研究领域。与硅铝分子筛仅含  $\text{SiO}_4$ 、 $\text{AlO}_4$  四面体基本建筑单元不同, 具硼、锗骨架组成的微孔化合物具有更为丰富的配位环境, 不仅含有  $\text{TO}_4$  结构单元, 还可以采取  $\text{TO}_n(n=3, 4, 5, 6)$  多种配位模式。这意味着硼锗酸盐将具有比硅铝酸盐分子筛更为丰富的结构类型。尤其值得关注的是, 在该领域中不同的硼、锗氧多面体容易形成丰富多样的簇聚集体, 即次级结构单元。运用不同的合成策略, 如溶剂类型的选择、新模板的合成、晶化温度与时间的调控、pH 值调节等, 以较大的硼-氧、锗-氧簇单元或混合的硼-锗-氧簇单元作为建筑模块, 构筑具有新颖骨架结构特征及超大孔道结构的硼锗酸盐材料已经引起人们的兴趣。本文从结构化学的角度, 尤其针对硼、锗易于成簇的特点, 分别对硼酸盐、锗酸盐及硼锗酸盐研究体系进行简要的总结和讨论, 以便人们对含有硼、锗骨架元素的微孔材料有更为全面和深入的认识。

## 1 硼酸盐研究体系

半个多世纪以来, 硼酸盐一直是材料化学家关注的热点领域。它们不仅具有丰富的结构特点, 而且在矿物学、非线性光学材料、激光晶体材料、隔热隔声材料及荧光材料等领域有着广泛的应用前景<sup>[3,4]</sup>。

在硼酸盐化合物中, 硼通常以  $\text{Bf}_4$  四面体和  $\text{Bf}_3$  平面三角形( $\phi:\text{O}^{2-}, \text{OH}^-$ )两种配位方式存在。这些  $\text{Bf}_3$  三角形和  $\text{Bf}_4$  四面体通过共顶点(或极少共边)连接, 聚合形成不同的硼-氧簇, 从而使得硼酸盐化合物的结构更加多样化。根据  $\text{Bf}_4$  和  $\text{Bf}_3$  聚合方式的不同, Burns 和 Hawthorne<sup>[5,6]</sup>等提出“基本建筑单元”(Fundamental Building Blocks, FBBs)来形象地描述不同的 B-O 簇, 并在此基础上概括总结了一系列具有有限团簇、一维链状、二维层状及三维空旷骨架结构的无机矿物硼酸盐的基本构筑单元, 如图 1~4 所示。

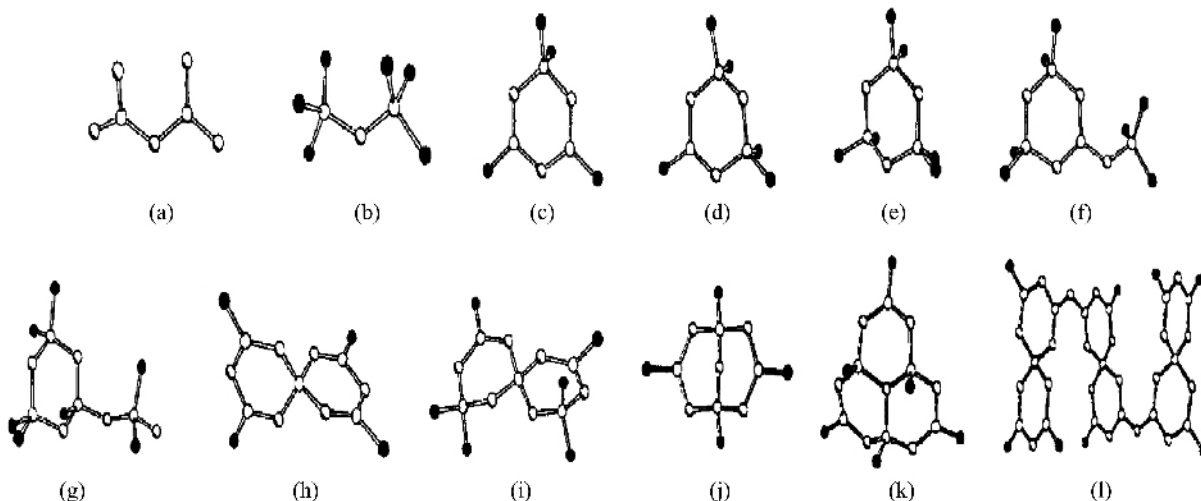


图 1 分立结构硼酸盐中的 12 种基本建筑单元

Fig.1 Twelve FBBs in finite-cluster borates

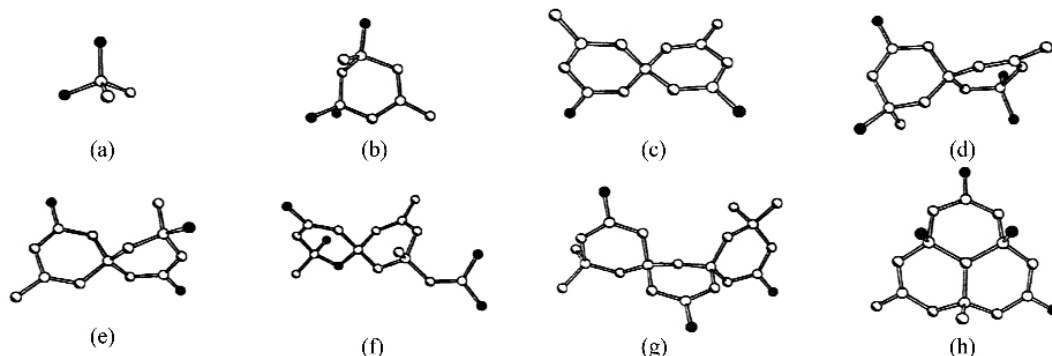


图 2 链状结构硼酸盐中的 8 种基本建筑单元

Fig.2 Eight FBBs in chain-borates







过渡金属配合物模板支撑结构的硼酸盐，它的晶体结构可看成  $[B_5O_7(OH)_3]^2-$  簇单元通过 M-O-B 键与  $[Zn(TREN)]^{2+}$  配合物“熔合”而成(图 10)，这种连接方式在硼酸盐中尚属首次出现；在化合物(5)中配合物模板分子同时含有两种配位模式，即桥联与螯合配位。

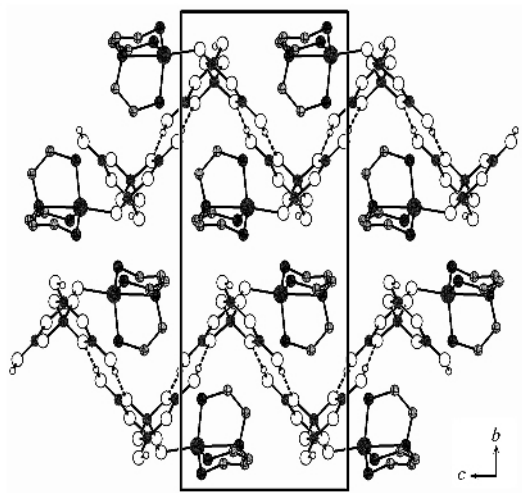


图 10  $[B_5O_7(OH)_3M(TREN)]$  的晶体结构  
Fig.10 Crystal structure of  $[B_5O_7(OH)_3M(TREN)]$

从以上对含有机胺和配合物模板的硼酸盐结构的分析中可以看出，由于存在着丰富的端羟基，硼酸盐大多以低维分立形式存在，因而，在当前情况下，探索合适的反应条件，通过羟-羟聚合脱水，将分立结构的硼氧有限簇拓展成具有高维骨架结构的硼酸盐，如一维链状、二维层状及三维空旷结构，是一项很有意义的工作。

此外，其他具有 P 区主族元素组分的硼酸盐如硼酸铝、硼酸铅、硼磷酸盐等报道的数量虽不多，却是目前硼酸盐研究的新方向。例如，2003 年林建华教授等<sup>[43]</sup>报道的 1 例硼酸铝分子筛 PKU-1(图 11)，

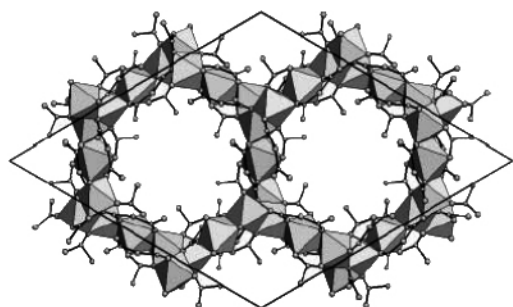


图 11 PKU-1 中由  $AlO_6$  八面体共边连接形成的十八元环孔道  
Fig.11 Structure of the 18-ring channels in PKU-1, showing the edge-sharing of  $AlO_6$  octahedra

其骨架完全由  $AlO_6$  八面体共边连接，形成包含十元环、十八元环超大孔道的三维微孔结构。这种仅由八面体结构单元构筑的无机微孔材料极为少见。此外，即含硼-氧基团又含磷-氧基团的硼磷酸盐体系也是近年来异常活跃的研究领域之一(见相关综述<sup>[44]</sup>)。这里就不再一一赘述。

## 2 锗酸盐研究体系

开发具有新骨架组分的微孔化合物一直是合成与制备化学研究的一个重点。与硅铝分子筛相比，锗酸盐是近 10 年才发展起来并逐渐引起人们重视的一类具有不同骨架元素的微孔材料。锗与硅处于同一主族，二者有着相似的化学性质。但作为不同的微孔骨架构筑元素，它们又存在很大的差异，如硅一般以四面体的方式参与骨架的构筑，而锗却可以通过四面体、三角双锥、四方锥及八面体等多种形式构筑骨架结构。此外，锗酸盐具有较长的 Ge-O 键长和较小的 Ge-O-Ge 键角，这使锗在参与构筑化合物骨架时更加灵活，易形成三元环及锗-氧簇，从而为构筑超大孔道锗酸盐材料提供了可能。1991 年徐如人等报道了首例空旷骨架锗酸盐  $Ge_6O_{12} \cdot NMe_4OH$ <sup>[45]</sup>，随后一大批结构新颖的锗酸盐化合物相继被合成出来。其中，具有单纯四面体骨架结构的锗酸盐分子筛比较少，而含有 4、5 和(或)6 等混合配位模式锗原子的空旷骨架化合物却占很大的比例。

### 2.1 单一四面体骨架的锗酸盐分子筛

ASU-7<sup>[46]</sup> 是首例由单一  $GeO_4$  四面体构建的锗酸盐分子筛，其骨架由  $[Ge_8O_{12}]$  立方体状次级结构单元通过  $GeO_4$  四面体连接，沿  $c$  轴方向形成十二元环孔道结构(图 12)。当加热除去客体分子后，分子筛骨架仍然保持稳定；而 ASU-9 骨架具有十八面体笼结构，球形 DABCO 分子位于笼的中央，其分子筛骨架在加热脱去客体分子时发生塌陷。UCSB-9<sup>[47]</sup> 是首例具有奇数三元环的锗酸镓沸石结构，如图 13 所示，次级结构单元被 3 个三元环环绕，并相互连接形成 3.9 层状结构，无机层间以 ABAB 方式堆垛形成三维网络结构。ICMM3<sup>[48]</sup> 具有和 UCSB-9 类似的拓扑结构，它是 1 例含 OH 基团和有机胺混合模板的空旷骨架锗酸盐。化合物 FOS-5<sup>[49]</sup> 和 ICMM5<sup>[50]</sup> 具有相同的分子筛无机骨架，即由  $GeO_4$  四面体共顶点连接，在沿  $[100]$ 、 $[010]$  和  $[001]$  方向形成具有十二元环三维交叉孔道。







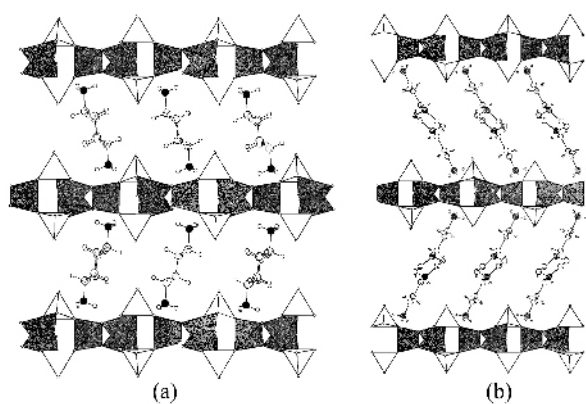


图 22 具有不同客体模板的层堆积结构

Fig.22 Different packing structure of borogermanate layers with different guest molecules

外, 沿 $2_1$ 螺旋轴方向 $\text{GeO}_4$ 连接为一维四面体螺旋链。化合物 $\text{K}_2[\text{Ge}(\text{B}_4\text{O}_9)] \cdot 2\text{H}_2\text{O}$ <sup>[76]</sup>是由 $\text{GeO}_4$ 四面体与 $\text{B}_4\text{O}_9$ 簇单元连接构成的三维骨架硼锗酸盐, 沿[100]、[010]和[001]方向分别具有十元、九元和九元环孔道(图 24), 该化合物具有二阶非线形光学性质和可逆的失水-吸水过程。

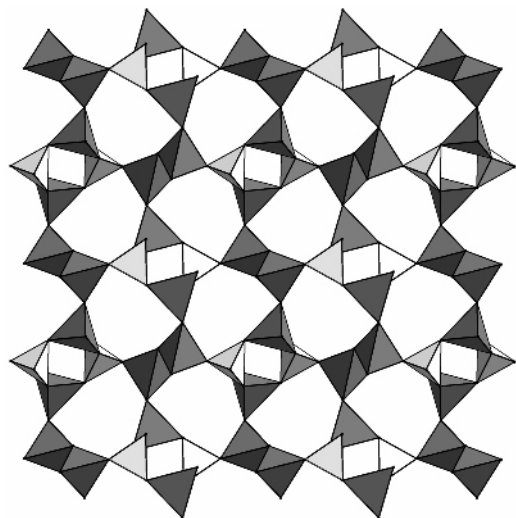
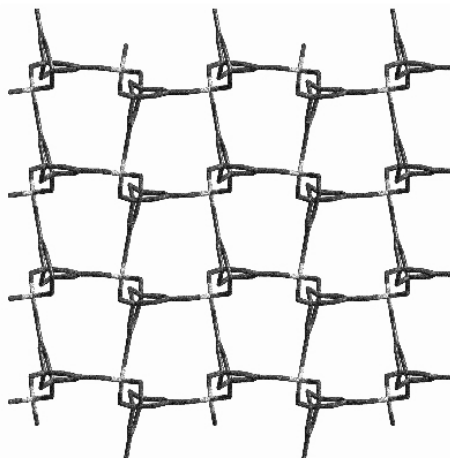
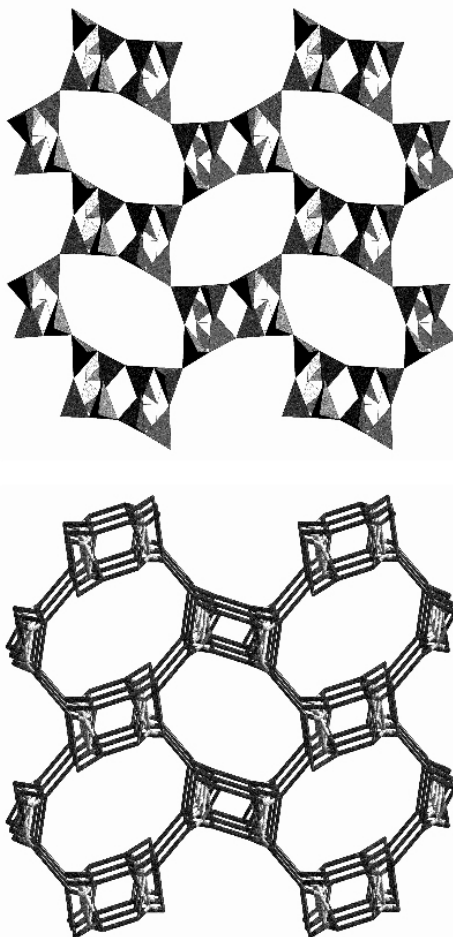


图 23 FJ-9 的七元环孔道结构

Fig.23 Structure of 7-MR channels in FJ-9

2005 年, 我们和邹晓东两个课题组几乎同时报道了首例具有有机模板的三维空旷骨架硼锗酸盐 $(\text{C}_4\text{N}_3\text{H}_{15})[(\text{BO}_2)_2(\text{GeO}_2)_4]$ <sup>[77,78]</sup>, 如图 25 所示。其骨架可看成由 2 个不同的次级结构单元, 即 $\text{Ge}_8\text{O}_{24}$ 簇和 $\text{B}_2\text{O}_7$ 簇连接而成, 其中 $\text{Ge}_8\text{O}_{24}$ 簇沿 bc 平面连接形成包含十二元环孔道的锗-氧层, 层间通过 $\text{B}_2\text{O}_7$ 簇进一步拓展成具有新颖拓扑结构的三维骨架。该化合物的另一个显著特点是, 在沿[010]和[001]方向分别

存在着两对交替排列的左、右手螺旋链, 这 4 条螺旋链则通过桥氧进一步连接形成上述的锗-氧层结构。

图 24  $\text{K}_2[\text{Ge}(\text{B}_4\text{O}_9)] \cdot 2\text{H}_2\text{O}$  的晶体结构Fig.24 Crystal structure of  $\text{K}_2[\text{Ge}(\text{B}_4\text{O}_9)] \cdot 2\text{H}_2\text{O}$ 图 25  $(\text{C}_4\text{N}_3\text{H}_{15})[(\text{BO}_2)_2(\text{GeO}_2)_4]$  中的十二元环孔道(上)与拓扑结构(下)Fig.25 Structure of 12-MR channels in  $(\text{C}_4\text{N}_3\text{H}_{15})[(\text{BO}_2)_2(\text{GeO}_2)_4]$  (up) and the novel topology (down)



